# DATA SHEET

For a complete data sheet, please also download:

- The IC04 LOCMOS HE4000B Logic Family Specifications HEF, HEC
- The IC04 LOCMOS HE4000B Logic Package Outlines/Information HEF, HEC

# HEF4520B
# MSI
# Dual binary counter

Product specification
File under Integrated Circuits, IC04

January 1995

Philips Semiconductors

PHILIPS

# Dual binary counter

# HEF4520B
# MSI

## DESCRIPTION

The HEF4520B is a dual 4-bit internally synchronous binary counter. The counter has an active HIGH clock input ($CP_0$) and an active LOW clock input ($\overline{CP}_1$), buffered outputs from all four bit positions ($O_0$ to $O_3$) and an active HIGH overriding asynchronous master reset input (MR). The counter advances on either the LOW to HIGH transition of the $CP_0$ input if $\overline{CP}_1$ is HIGH or the HIGH to LOW transition of the $\overline{CP}_1$ input if $CP_0$ is low. Either $CP_0$ or $\overline{CP}_1$ may be used as the clock input to the counter and the other clock input may be used as a clock enable input. A HIGH on MR resets the counter ($O_0$ to $O_3$ = LOW) independent of $CP_0$, $\overline{CP}_1$.
Schmitt-trigger action in the clock input makes the circuit highly tolerant to slower clock rise and fall times.

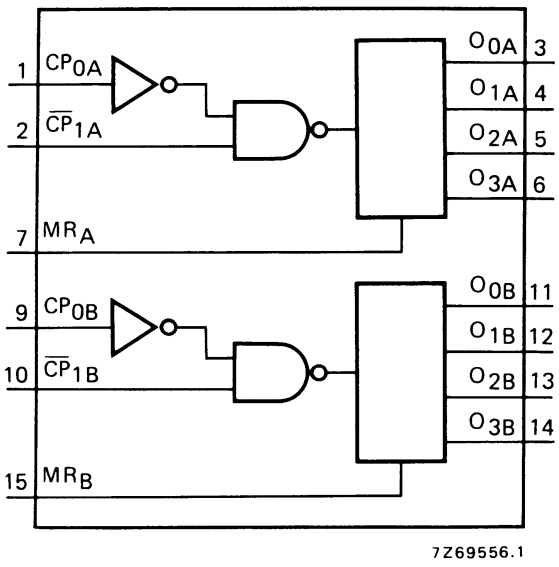



Fig.1 Functional diagram.

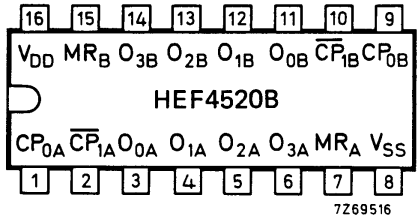



Fig.2 Pinning diagram.

HEF4520BP(N): 16-lead DIL; plastic (SOT38-1)
HEF4520BD(F): 16-lead DIL; ceramic (cerdip) (SOT74)
HEF4520BT(D): 16-lead SO; plastic (SOT109-1) (SOT109-1)

( ): Package Designator North America

## PINNING

| | |
|---|---|
| $CP_{0A}$, $CP_{0B}$ | clock inputs (L to H triggered) |
| $\overline{CP}_{1A}$, $\overline{CP}_{1B}$ | clock inputs (H to L triggered) |
| $MR_A$, $MR_B$ | master reset inputs |
| $O_{0A}$ to $O_{3A}$ | outputs |
| $O_{0B}$ to $O_{3B}$ | outputs |

## FAMILY DATA, $I_{DD}$ LIMITS category MSI

See Family Specifications

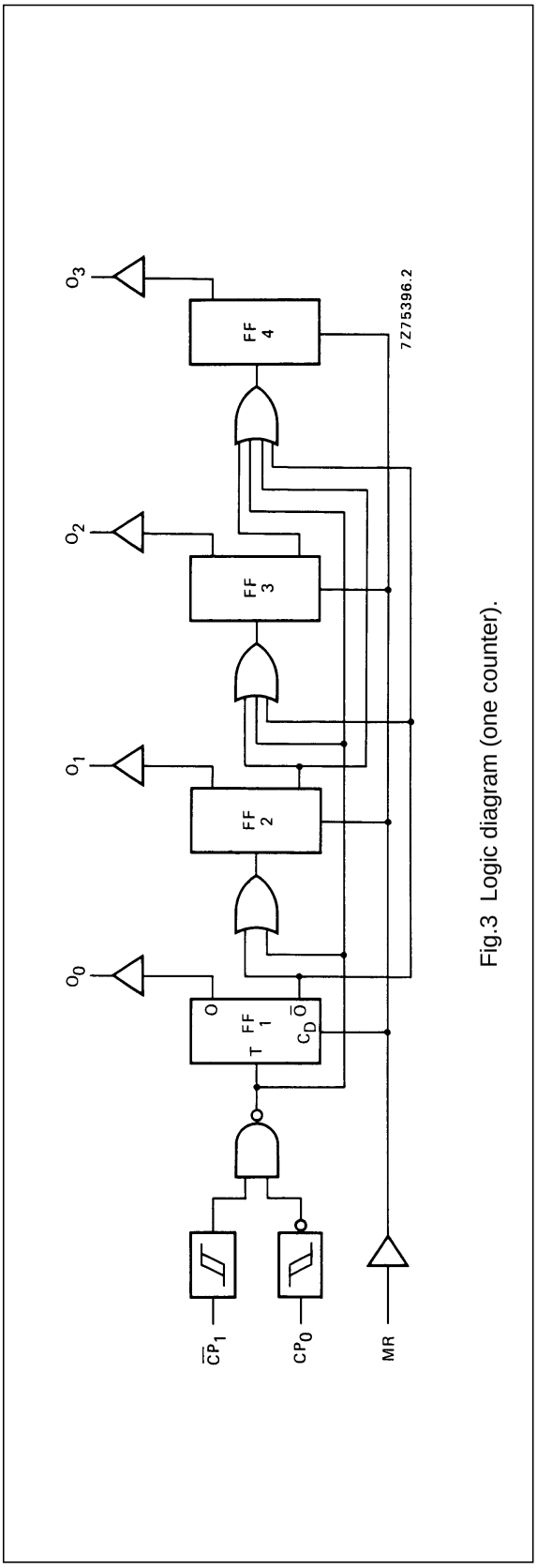



Fig.3 Logic diagram (one counter).

**FUNCTION TABLE**

| $CP_0$ | $\overline{CP}_1$ | MR | MODE |
|---|---|---|---|
| ⌐ | H | L | counter advances |
| L | ⌐ | L | counter advances |
| ¬ | X | L | no change |
| X | ⌐ | L | no change |
| ⌐ | L | L | no change |
| H | ¬ | L | no change |
| X | X | H | $O_0$ to $O_3$ = LOW |

**Notes**

1. H = HIGH state (the more positive voltage)
   L = LOW state (the less positive voltage)
   X = state is immaterial
   ⌐ = positive-going transition
   ¬ = negative-going transition

**AC CHARACTERISTICS**

$V_{SS}$ = 0 V; $T_{amb}$ = 25 °C; $C_L$ = 50 pF; input transition times ≤ 20 ns

| | $V_{DD}$ V | SYMBOL | MIN. | TYP. | MAX. | | TYPICAL EXTRAPOLATION FORMULA |
|---|---|---|---|---|---|---|---|
| Propagation delays | | | | | | | |
| $CP_0$ , $\overline{CP}_1 \rightarrow O_n$ | 5 | | | 110 | 220 | ns | 83 ns + (0,55 ns/pF) $C_L$ |
| HIGH to LOW | 10 | $t_{PHL}$ | | 50 | 100 | ns | 39 ns + (0,23 ns/pF) $C_L$ |
| | 15 | | | 40 | 80 | ns | 32 ns + (0,16 ns/pF) $C_L$ |
| | 5 | | | 110 | 220 | ns | 83 ns + (0,55 ns/pF) $C_L$ |
| LOW to HIGH | 10 | $t_{PLH}$ | | 50 | 100 | ns | 39 ns + (0,23 ns/pF) $C_L$ |
| | 15 | | | 40 | 80 | ns | 32 ns + (0,16 ns/pF) $C_L$ |
| $MR \rightarrow O_n$ | 5 | | | 75 | 150 | ns | 48 ns + (0,55 ns/pF) $C_L$ |
| HIGH to LOW | 10 | $t_{PHL}$ | | 35 | 70 | ns | 24 ns + (0,23 ns/pF) $C_L$ |
| | 15 | | | 25 | 50 | ns | 17 ns + (0,16 ns/pF) $C_L$ |
| Output transition | | | | | | | |
| times | 5 | | | 60 | 120 | ns | 10 ns + (1,0 ns/pF) $C_L$ |
| HIGH to LOW | 10 | $t_{THL}$ | | 30 | 60 | ns | 9 ns + (0,42 ns/pF) $C_L$ |
| | 15 | | | 20 | 40 | ns | 6 ns + (0,28 ns/pF) $C_L$ |
| | 5 | | | 60 | 120 | ns | 10 ns + (1,0 ns/pF) $C_L$ |
| LOW to HIGH | 10 | $t_{TLH}$ | | 30 | 60 | ns | 9 ns + (0,42 ns/pF) $C_L$ |
| | 15 | | | 20 | 40 | ns | 6 ns + (0,28 ns/pF) $C_L$ |
| Minimum $CP_0$ | 5 | | 60 | 30 | | ns | see also waveforms Figs 4 and 5 |
| pulse width; LOW | 10 | $t_{WCPL}$ | 30 | 15 | | ns | |
| | 15 | | 20 | 10 | | ns | |
| Minimum $\overline{CP}_1$ | 5 | | 60 | 30 | | ns | |
| pulse width; HIGH | 10 | $t_{WCPH}$ | 30 | 15 | | ns | |
| | 15 | | 20 | 10 | | ns | |
| Minimum MR | 5 | | 30 | 15 | | ns | |
| pulse width; HIGH | 10 | $t_{WMRH}$ | 20 | 10 | | ns | |
| | 15 | | 16 | 8 | | ns | |
| Recovery time | 5 | | 50 | 25 | | ns | |
| for MR | 10 | $t_{RMR}$ | 30 | 15 | | ns | |
| | 15 | | 20 | 10 | | ns | |
| Set-up times | 5 | | 50 | 25 | | ns | |
| $CP_0 \rightarrow \overline{CP}_1$ | 10 | $t_{su}$ | 30 | 15 | | ns | |
| | 15 | | 20 | 10 | | ns | |
| | 5 | | 50 | 25 | | ns | |
| $\overline{CP}_1 \rightarrow CP_0$ | 10 | $t_{su}$ | 30 | 15 | | ns | |
| | 15 | | 20 | 10 | | ns | |
| Maximum clock | 5 | | 8 | 16 | | MHz | |
| pulse frequency | 10 | $f_{max}$ | 15 | 30 | | MHz | |
| | 15 | | 20 | 40 | | MHz | |

**AC CHARACTERISTICS**

$V_{SS}$ = 0 V; $T_{amb}$ = 25 °C; input transition times ≤ 20 ns

| | $V_{DD}$ V | TYPICAL FORMULA FOR P (μW) | |
|---|---|---|---|
| Dynamic power dissipation per package (P) | 5 | $850\ f_i + \sum (f_o C_L) \times V_{DD}^2$ | where<br>$f_i$ = input freq. (MHz)<br>$f_o$ = output freq. (MHz)<br>$C_L$ = load capacitance (pF)<br>$\sum(f_o C_L)$ = sum of outputs<br>$V_{DD}$ = supply voltage (V) |
| | 10 | $3\ 800\ f_i + \sum (f_o C_L) \times V_{DD}^2$ | |
| | 15 | $10\ 200\ f_i + \sum (f_o C_L) \times V_{DD}^2$ | |

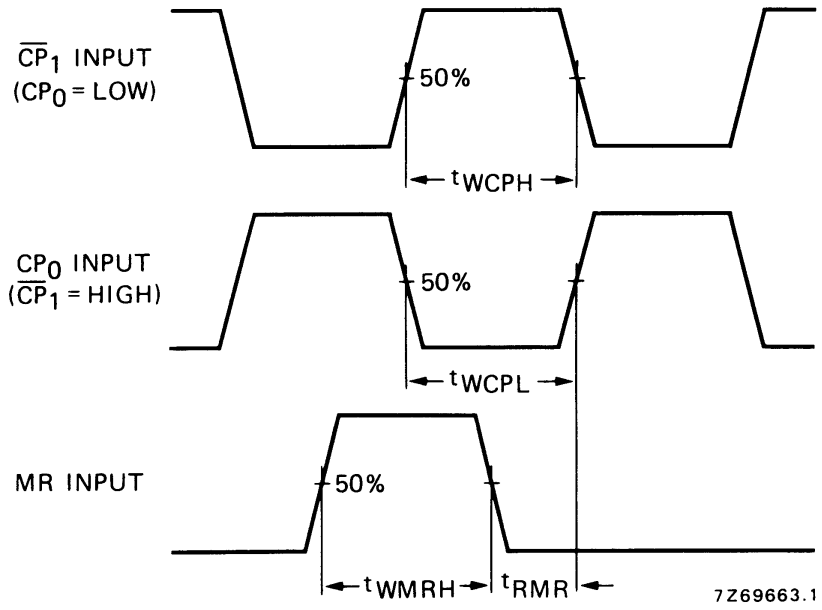



Fig.4 Waveforms showing recovery time for MR; minimum $CP_0$, $\overline{CP}_1$ and MR pulse widths.

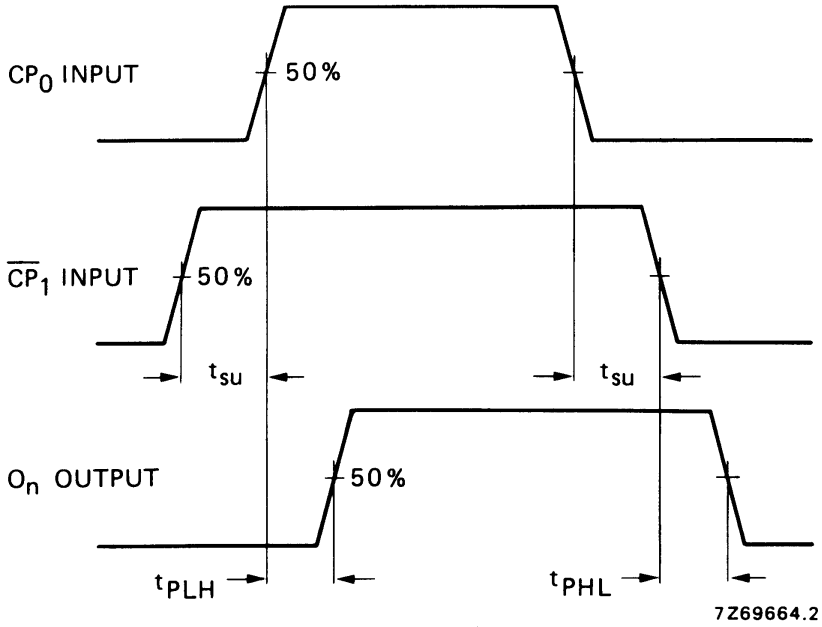



Fig.5 Waveforms showing set-up times for $CP_0$ to $\overline{CP}_1$ and $\overline{CP}_1$ to $CP_0$, and propagation delays.

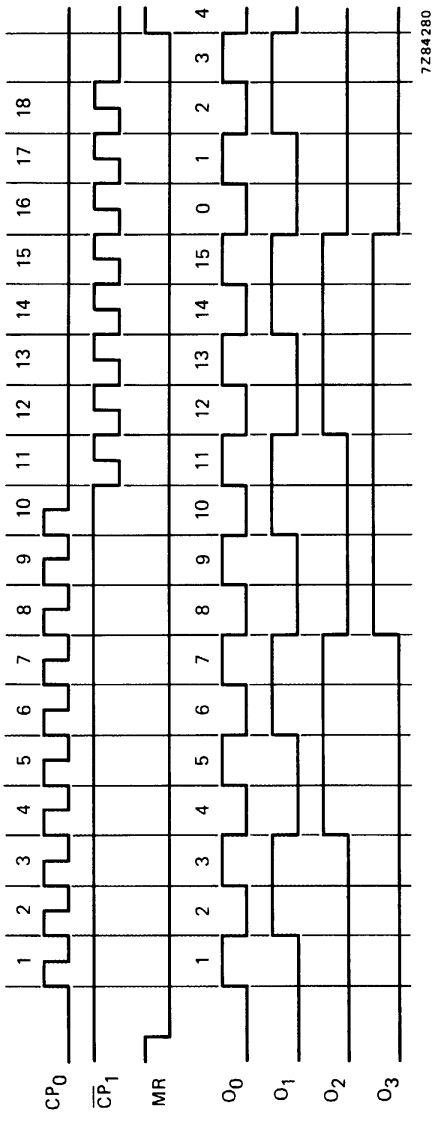



Fig.6 Timing diagram.

TradeElectronics.ru

гарантия бесперебойности производства и качества выпускаемой продукции

## О компании

ООО "ТрейдЭлектроникс" - это оперативные поставки широкого спектра электронных компонентов отечественного и импортного производства напрямую от производителей и с крупнейших мировых складов. Реализуемая нашей компанией продукция насчитывает более полумиллиона наименований.

Благодаря этому наша компания предлагает к поставке практически не ограниченный ассортимент компонентов как оптовыми, мелкооптовыми партиями, так и в розницу.

Наличие собственной эффективной системы логистики обеспечивает надежную поставку продукции по конкурентным ценам в точно указанные сроки.

Срок поставки со стоков в **Европе и Америке – от 3 до 14 дней.**

Срок поставки из **Азии – от 10 дней.**

Благодаря развитой сети поставщиков, помогаем в поиске и приобретении экзотичных или снятых с производства компонентов.

Предоставляем спец цены на элементы для создания инженерных сэмплов.

**Упорный труд, качественный результат дают нам право быть уверенными в себе и надежными для наших клиентов.**

## Наша компания это:

- Гарантия качества поставляемой продукции
- Широкий ассортимент
- Минимальные сроки поставок
- Техническая поддержка
- Подбор комплектации
- Индивидуальный подход
- Гибкое ценообразование

Наша организация особенно сильна в поставках модулей, микросхем, пассивных компонентов, ксайленсах (XC), EPF, EPM и силовой электроники.

Большой выбор предлагаемой продукции, различные виды оплаты и доставки, позволят Вам сэкономить время и получить максимум выгоды от сотрудничества с нами!

Trade Electronics.ru

гарантия бесперебойности производства и качества выпускаемой продукции

## Перечень производителей, продукцию которых мы поставляем на российский рынок



Trade Electronics.ru

гарантия бесперебойности производства и качества выпускаемой продукции

С удовольствием будем прорабатывать для Вас поставки всех необходимых компонентов по текущим запросам для скорейшего выявления групп элементов, по которым сотрудничество именно с нашей компанией будет для Вас максимально выгодным!

С уважением,

Менеджер отдела продаж ООО

«Трейд Электроникс»

Шишлаков Евгений

8 (495)668-30-28 доб 169

manager28@tradeelectronics.ru

http://www.tradeelectronics.ru/